

Algorytmy Przetwarzania Obrazów

Operacje na obrazach (II)

WYKŁAD 3

Dla studiów niestacjonarnych 2019/2020

Dr hab. Anna Korzyńska, prof. IBIB PAN

Operacje na obrazach

➤ Operacje punktowe (jednopunktowe):

Jednoargumentowe

$$[q(i, j)] = f[p(i, j)]$$

Wieloargumentowe

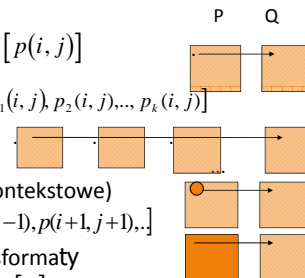
$$[q(i, j)] = f[p_1(i, j), p_2(i, j), \dots, p_k(i, j)]$$

➤ Operacje sąsiedztwa (kontekstowe)

$$[q(i, j)] = f[p(i, j), p(i-1, j-1), p(i+1, j+1), \dots]$$

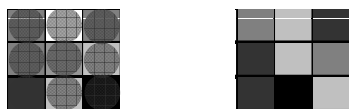
➤ Operacje globalne transformaty

$$[q(i, j)] = f[P]$$



Operacje punktowe (lokalne, jednopunktowe)

Do operacji punktowych; realizacja funkcji F



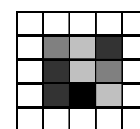
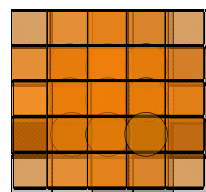
```

For i=0 to X do:
  Begin.
    For j=0 to Y do
      Begin.
        fnew(i,j) := F(f(i,j))
      End.
    End.
  End.
End.

```

3

Proces liczenia operacji sąsiedztwa



Do operacji sąsiedztwa F dla maski 3x3

For i=2 to X-2 do:

Begin.

For j=2 to X-2 do

Begin.

```

fnew(i,j) := F( f(i-1, j-1), f(i-1, j),
                f(i-1, j+1), f(i, j-1), f(i, j), f(i, j+1),
                f(i+1, j-1), f(i+1, j), f(i+1, j+1) )
End.

```

End.

4

Wynik operacji zależy od wielkości maski, ale głównie od funkcji zdefiniowanej na punkcie i jego otoczeniu.

Funkcjonalny podział operacji sąsiedztwa:

- operacje wygładzania
- operacje wyostrażania

Operacje wygładzania stanowią praktyczną realizację filtracji dolnoprzepustowej (FD) i dzielą się na operacje filtracji **liniowej** i **nieliniowej**.

Operacje filtracji nieliniowej dzielą się na operacje filtracji **logicznej** i **medianowej**.

Operacje wyostrażania stanowią praktyczną realizację filtracji górnoprzepustowej (FG) i dzielą się na operacje filtracji **gradientowej** i **laplasjanowej**.

5

Przykłady macierzy wag i masek operacji filtracji liniowej

Macierz wag

1/10	1/10	1/10
1/10	2/10	1/10
1/10	1/10	1/10

1/16	2/16	1/16
2/16	4/16	2/16
1/16	2/16	1/16

Maska filtracji dolnoprzepustowej

1	1	1
1	2	1
1	1	1

K = 1/10

1	2	1
2	4	2
1	2	1

K = 1/16

6

Filtracja nieliniowa; wygładzanie medianowe

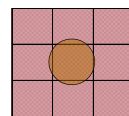
Mediana - wartość **środkowa** (w sensie położenia w ciągu wartości uporządkowanych)

Usuwanie zakłóceń **bez rozmywania krawędzi** (por. metodę filtracji liniowej)

7

Mediana i pozostałe filtry statystyczne

0	0	0	0
1	0	0	3
0	0	0	3
2	3	3	1



	0	1	
	2	2	

1, 2, 2, 4, 5, 6, 7, 8, 9

0, 0, 0, 0, 1, 1, 2, 3 mediana=0, min=0, max=3, najbardziej prawdopodobna=0

0, 0, 0, 0, 1, 2, 3, 3, 3 mediana=1, min=0, max=3, najbardziej prawdopodobna=0

0, 0, 1, 1, 2, 2, 3, 3, 3 mediana=2, min=0, max=3, najbardziej prawdopodobna=3

0, 0, 1, 1, 2, 2, 3, 3, 3 mediana=2, min=0, max=3, najbardziej prawdopodobna=3

8

Operacje wyostrażania

Metoda: konwolucja + maska *filtracji górnoprzepustowej (FG)*.

W wyostrażaniu stosuje się metody numeryczne aproksymujące pochodną.

Zadanie wyostrażania:

- podkreślenie na obrazie konturów obiektów
- podkreślenie na obrazie punktów informatywnych (np. wierzchołki dla wielokątów, zakończenia, skrzyżowania, rozgałęzienia linii dla rysunków technicznych, wykresów lub pisma).

Model zadania wyostrażania: wydobyć i uwypuklenie krawędzi obiektu.

9

Cyfrowa wersja gradientu

Pochodna pionowa G_x funkcji $f(x,y)$

$$G_x^{def} = \begin{bmatrix} f(x+1, y-1) + 2f(x+1, y) + f(x+1, y+1) \\ - [f(x-1, y-1) + 2f(x-1, y) + f(x-1, y+1)] \end{bmatrix}$$

maska:

	y-1	y	y+1
x-1	-1	-2	-1
x	0	0	0
x+1	1	2	1

Pochodna pozioma G_y funkcji $f(x,y)$

$$G_y^{def} = \begin{bmatrix} f(x-1, y+1) + 2f(x, y+1) + f(x+1, y+1) \\ - [f(x-1, y-1) + 2f(x, y-1) + f(x+1, y-1)] \end{bmatrix}$$

maska:

	y-1	y	y+1
x-1	-1	0	1
x	-2	0	2
x+1	-1	0	1

$$G(x,y) = \sqrt{G_x^2 + G_y^2}$$

10

Cyfrowa wersja laplasjanu

$$L(x,y) = [f(x+1,y) + f(x-1,y) + f(x,y+1) + f(x,y-1) - 4f(x,y)]$$

maska:

	y-1	y	y+1
x-1	0	1	0
x	1	-4	1
x+1	0	1	0

Własności:

Gradient: wrażliwy na intensywność zmiany; używany tylko do detekcji krawędzi;
Laplasjan: podaje dodatkową informację o położeniu piksela względem krawędzi (po jasnej czy po ciemnej stronie).

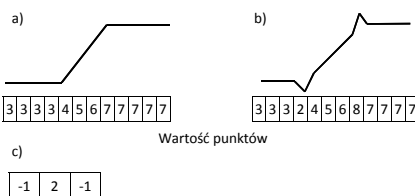
Uwaga: Dla operacji wyostrażania współczynnik maski **K=1**

11

Krawędź obrazu widoczna w przekroju (xz)

- obraz pierwotny
- obraz wynikowy po obróbce laplasjanowej i po dodaniu w sposób ważony jasności odpowiednich pikseli
- maska laplasjanu

Rezultat **uwypuklenie** (wzmocnianie) krawędzi (edge enhancement)



12

Wyznaczanie i wzmacnianie konturach obiektów

Wyostrenie - **złożenie** obrazów:

- wejściowego,
- po operacji zadanej laplasjanem, następnie przeskalowanie stopni szarości (jak w operacjach jednopunktowych).

a)	b)	c)	d)	e)
0 -1 0	-1 -1 -1	1 -2 1	-1 -1 -1	0 -1 0
-1 4 -1	-1 8 -1	-2 4 -2	-1 9 -1	-1 5 -1
0 -1 0	-1 -1 -1	1 -2 1	-1 -1 -1	0 -1 0

13

Laplasjany

Tekst

Dyskretna forma drugiej pochodnej

0 -1 0	-1 -1 -1	1 -2 1	-1 -1 -1	0 -1 0
-1 4 -1	-1 8 -1	-2 4 -2	-1 9 -1	-1 5 -1
0 -1 0	-1 -1 -1	1 -2 1	-1 -1 -1	0 -1 0

Tekst

Tekst

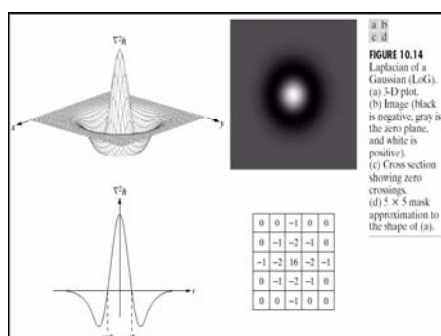
Tekst

Tekst

Tekst

14

Laplasjan filtra gaussowskiego



15

Metoda specjalnego gradientu

Stosowana w przypadkach, gdy metody filtracji górnoprzepustowej (FG) powodują wzmocnienie zakłóceń w obszarach leżących wewnątrz konturu.

Zasada

Krawędź uznana jest za istniejącą, jeśli wartość gradientu intensywności w pewnych punktach przekracza ustalony próg. Metody aproksymacji: **Roberts, Sobela, Prewitta**.

Oznaczenia pikseli:

f_0	f_1	f_2
f_3	f_4	f_5
f_6	f_7	f_8

(i,j)

16

Maski konwolucyjne kierunkowego krawędziowania

Roberts

1	0
0	-1

G_x G_y

Sobel:

-1	0	1
-2	0	2
-1	0	1

G_x G_y

Prewitt:

1	0	-1
1	0	-1
1	0	-1

G_x G_y

Zadanie 3

17

Operatory krawędziowania

Konstruowane przez nieliniową kombinację dwóch prostopadłych kierunków gradientu (liniowych transformacji)

dokładnej

przybliżonej

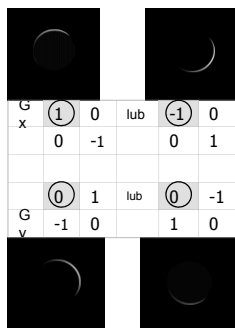
$$G = \sqrt{G_x^2 + G_y^2}$$

$$G = |G_x| + |G_y|$$

Roberts		Sobela
G_x	1 0 lub -1 0	1 0 -1 lub -1 0 1
	0 -1 0 1	2 0 -2 lub -2 0 2
	0 1 lub 0 -1	1 0 -1 lub -1 0 1
G_y	-1 0 1 0	0 1 2 1 lub -1 -2 -1
		0 0 0 lub 0 0 0
		-1 -2 -1 lub 1 2 1

18

Filtry i operatory Roberta



$$G = \sqrt{G_x^2 + G_y^2}$$

19

Filtry kierunkowe rzeźbiące

Wschód	Poludniowy wschód	Poludnie	Poludniowy zachód	
-1 0 1	-1 -1 0	-1 -1 -1	0 -1 -1	
-1 1 1	-1 1 1	0 1 0	1 1 -1	
-1 0 1	0 1 1	1 1 1	1 1 0	
E	SE	S	SW	
W	NW	N	NE	
1 0 -1	1 1 0	1 1 1	0 1 1	
1 1 -1	1 1 -1	0 1 0	-1 1 1	
1 0 -1	0 -1 -1	-1 -1 -1	-1 -1 0	
Zachód	Północny zachód	Północ (N)	Północny wschód	

Metody operacji na pikselach wchodzących w skład skrajnych kolumn i wierszy

1. Pozostawienie wartości pikseli bez zmian
2. Wartości pikseli są nieokreślone (xxxxxxxxxx)
3. Nadanie pikselom wartości arbitralnie zadanych przez użytkownika (np. same wartości „0”, „15”, „10” itd.)
4. Operacje z zastosowaniem kolumn i wierszy pomocniczych (zdublowanie (powielenie) skrajnych wierszy i kolumn)
5. Operacje z wykorzystaniem pikseli z istniejącego sąsiedztwa.
 - Lewa skrajna kolumna (oprócz pikseli górnego i dolnego rogu) – kierunki 0,1,2,6,7,
 - Lewa skrajna kolumna (piksel w górnym rogu) – kierunki 0, 6,7,
 - Lewa skrajna kolumna (piksel w dolnym rogu) – kierunki 0,1,2,
 - Prawa skrajna kolumna (oprócz pikseli górnego i dolnego rogu) – kierunki 2,3,4,5,6,
 - Prawa skrajna kolumna (piksel w górnym rogu) – kierunki 4,5,6,
 - Prawa skrajna kolumna (piksel w dolnym rogu) – kierunki 2,3,4,
 - Górny skrajny wiersz (oprócz pikseli z lewego i prawego rogu) – kierunki 4,5,6,7,0
 - Dolny skrajny wiersz (oprócz pikseli z lewego i prawego rogu) – kierunki 0,1,2,3,4.

21

Metody skalowania tablic obrazów wynikowych

Cel skalowania: sprowadzanie wartości pikseli do zakresu $[0, (M-1)]$

Metoda **proporcjonalna**

$$g'(x,y) = \frac{g(x,y) - g(x,y)_{\min}}{g(x,y)_{\max} - g(x,y)_{\min}} \cdot (M-1)$$

Własność:

Równomierne przeskalowanie wszystkich pikseli obrazu.

Końcowy efekt: obraz z zakresu $[0, (M-1)]$

22

Metoda trójwartościowa

$$g'(x,y) = \begin{cases} 0 & \text{dla } g(x,y) < 0 \\ E[(M-1)/2] & \text{dla } g(x,y) = 0 \\ M-1 & \text{dla } g(x,y) > 0 \end{cases}$$

Zastosowanie

obrazy o jednolitym tle i dobrze widocznych obiektach - np. obrazy binarne. Efekt: czarno-biała krawędź na szarym tle.

Metoda obcinająca

$$g'(x,y) = \begin{cases} 0 & \text{dla } g(x,y) < 0 \\ g(x,y) & \text{dla } 0 \leq g(x,y) \leq M-1 \\ M-1 & \text{dla } g(x,y) > M-1 \end{cases}$$

23

Biblioteka OpenCV



OpenCV (Open Source Computer Vision Library) is an open source computer vision and machine learning software library. OpenCV was built to provide a common infrastructure for computer vision applications and to accelerate the use of machine perception in the commercial products. Being a BSD licensed product, OpenCV makes it easy for businesses to utilize and modify the code.

The library has more than 2500 optimized algorithms, which includes a comprehensive set of both classic and state-of-the-art computer vision and machine learning algorithms. These algorithms can be used to detect and recognize faces, identify objects, classify human actions in videos, track camera movements, track moving objects, extract 3D models of objects, produce 3D point clouds from stereo cameras, stitch images together to produce a high resolution image of an entire scene, find similar images from an image database, remove red eyes from images taken using flash, follow eye movements, recognize scenery and establish markers to overlay it with augmented reality, etc. OpenCV has more than 47 thousand

It has C++, Python, Java and MATLAB interfaces and supports Windows, Linux, Android and Mac OS.

There are over 500 algorithms and about 10 times as many functions that compose or support those algorithms. OpenCV is written natively in C++.

OpenCV + Python

- Instalacja:
 - pip install numpy (niezbędne do działania openCV ze względu na obliczenia macierzowe obrazów)
 - pip install opencv-python
- Wczytanie:
 - import cv2 as cv
- Test:
 - print(cv.__version__)

OpenCV.js

- Example for synchronous loading:


```
<script src="opencv.js"
type="text/javascript"></script>
```
- Po załadowaniu jest gotowy do użycia:


```
imgElement.onload = function() {
  let mat = cv.imread(imgElement);
  cv.imshow('canvasOutput', mat);
  mat.delete();
};
```

OpenCV in C++

- Opcja 1:
 - #include "opencv2/core/core.hpp"
 - cv::Mat H = cv::findHomography(points1, points2, CV_RANSAC, 5);
- Opcja 2:
 - #include "opencv2/core/core.hpp"
 - using namespace cv;
 - Mat H = findHomography(points1, points2, CV_RANSAC, 5);

Wyglądanie



- Python:


```
cv2.blur(src, ksize[, dst[, anchor[, borderType]]]) → dst
```
- C++


```
void blur(InputArray src, OutputArray dst, Size ksize,
Point anchor=Point(-1,-1),
int borderType=BORDER_DEFAULT )
```
- JS


```
cv.blur(src, dst, ksize, anchor, cv.BORDER_DEFAULT);
```

Zadanie 1

Laplasjan



- Python:


```
cv2.Laplacian(src, ddepth[, dst[, ksize[, scale[, delta[, borderType]]]]]) → dst
```
- C++


```
void Laplacian(InputArray src, OutputArray dst,
int ddepth, int ksize=1, double scale=1,
double delta=0, int borderType=BORDER_DEFAULT )
```
- JS


```
cv2.Laplacian(src, dst, cv.CV_8U, ksize, scale, 0,
cv.BORDER_DEFAULT);
```

Zadanie 1

Filtracja medianowa

- Python:


```
cv2.medianBlur(src, ksize[, dst]) → dst
```
- C++


```
void medianBlur(InputArray src, OutputArray dst,
int ksize)
```
- JS


```
cv.medianBlur(src, dst, ksize);
```

Zadanie 3

Ogólnie – filtr 2D - argumenty

- Argumenty wejściowe:
 - src – obraz wejściowy
 - ddepth – głębokość obrazu wyjściowego (ddepth = -1 dla zachowania wartości z obrazu wejściowego)
 - kernel – jądro przekształcenia
 - anchor – punkt zaczepienia jądra przekształcenia
 - delta – (opcjonalnie) stała dodana do wartości obrazu
 - dst – obraz wyjściowy
 - borderType – określa postępowanie z pikselami brzegowymi
 - scale – (opcjonalne) określenie liczby przez którą mnożymy w celu przeskalowania

```
cv2.filter2D(src, ddepth, kernel[, dst[, anchor[, delta[, borderType]]]]) → dst
```

Ogólnie – filtr 2D

Argumenty wejściowe: obraz, rozmiar otoczenia

- Python:


```
cv2.filter2D(src, ddepth, kernel[, dst[, anchor[, delta[, borderType]]]]) → dst
```
- C++


```
void filter2D(InputArray src, OutputArray dst, int ddepth, InputArray kernel, Point anchor=Point(-1,-1), double delta=0, int borderType=BORDER_DEFAULT)
```
- JS


```
cv.filter2D(src, dst, cv.CV_8U, cv.Mat.eye(3, 3, cv.CV_32FC1), anchor, 0, cv.BORDER_DEFAULT);
```

Wartości brzegowe

- Wiele funkcji (klas) w OpenCV przyjmuje jako argument wejściowy zmienną określającą jak należy postępować z pikselami brzegowymi
- Typowo jest to parametr **borderType**

```
/* Various border types,
   image boundaries are denoted with '|'

* BORDER_REPLICATE: aaaaaa|abcdefgh|hhhhhhh
* BORDER_REFLECT:  fedcba|abcdefgh|hgfedcb
* BORDER_REFLECT_101: gfedcb|abcdefgh|gfedcba
* BORDER_WRAP:      cdefgh|abcdefgh|abcdefg
* BORDER_CONSTANT:  iiiiii|abcdefgh|iiiiiii
                    with some specified 'i' */
```

Pomoc - przykłady

- https://docs.opencv.org/3.4/dc/dd3/tutorial_gaussian_median_blur_bilateral_filter.html
- https://docs.opencv.org/3.4/db/d8e/tutorial_threshold.html
- https://docs.opencv.org/3.4/dbd/tutorial_filter_2d.html
- https://docs.opencv.org/3.4/d2/d2c/tutorial_sobel_derivatives.html
- https://docs.opencv.org/3.4/d5/db5/tutorial_laplace_operator.html
- https://docs.opencv.org/3.4/da/d5c/tutorial_canny_detector.html

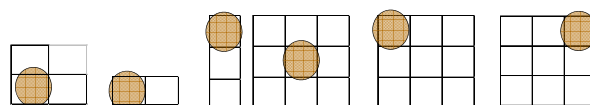
Operacje morfologii matematycznej

Operacje morfologii matematycznej na obrazach

Operacje pozwalające na budowanie złożonych operacji, pozwalających na analizę kształtu i wzajemnego położenia obiektów.

Fundamentalne pojęcie: **element strukturalnym (strukturujący)**

– podzbiór obrazu z wyróżnionym punktem, zwanym często punktem centralnym



Operacje morfologii matematycznej na obrazach

– w elemencie strukturalnym występują następujące symbole:

- **1** element wskazuje piksel zapalony tzn. wartość obiektu w masce binarnej
- **0** element wskazuje piksel wytłumiony tzn. wartość tła w masce binarnej
- **X** element wskazuje dowolną wartość tzn. wartość tła lub obiektu w masce binarnej

Przekształcenia polegają na zmianie intensywności lub pozostawieniu intensywności punktu przykrytego przez punkt centralny elementu strukturalnego w zależności od spełnienia warunków logicznych.

Operacje morfologiczne przekształcają tylko część punktów obrazu

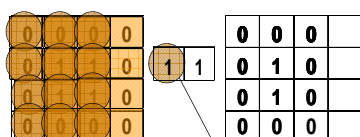
37

Operacje morfologiczne

1. Element strukturalny jest przemieszczany po wszystkich punktach obrazu tak, że punkt centralny elementu strukturalnego jest nakładany na kolejne punkty w kolejnych wierszach,
2. W każdym położeniu elementu sprawdza się, czy rzeczywista konfiguracja punktów jest zgodna (koincydentna) ze wzorcem zawartym w elemencie strukturalnym zakodowanym symbolami 1, 0, X
3. W przypadku wykrycia zgodności jest wykonywana operacja związana z filtrem, a w przeciwnym przypadku wartość występująca w obrazie pierwotnym jest przepisywana.

38

Operacje morfologiczne



Jeśli punkt otoczenia jest wygaszony (równy wartości tła - 0) przy zapalonym (większym od tła - 1) elemencie centralnym, wynik zostaje wygaszany, a w przeciwnym wypadku zostawiamy poprzednią wartość

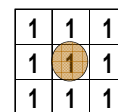
39

Podstawowe operacje morfologii matematycznej

0-zgaszony; 1-zapalony; X-o dowolnej wartości.

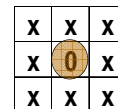
- Erozja

$$q(i, j) = \min_{i_n, j_m \in B(i, j)} (p(i_n, j_m))$$



- Dylatacja (dylacja) negatyw erozji

$$q(i, j) = \max_{i_n, j_m \in B(i, j)} (p(i_n, j_m))$$



$B(i, j)$ element strukturalny z punktem centralnym o współrzędnych (i, j)

Dylatacja jest operacją dualną do erozji i na odwrót

40

Przykłady operacji erozji



Praca dyplomowa Szymona Mireckiego

41

Przykłady operacji dylacji na obrazach w skali szarości



Maksimum / Rozjaśnianie

Praca dyplomowa Szymona Mireckiego

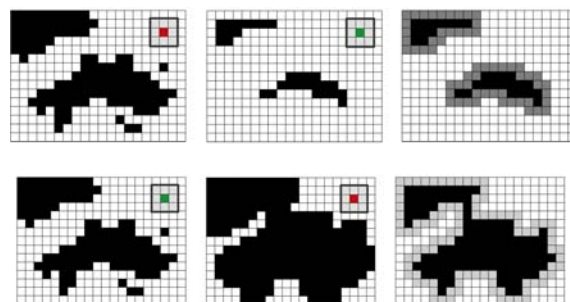
42

Inne operacje morfologii matematycznej

- Otwarcie (=Erozja+Dylacja)
- Zamknięcie[domknięcie] (=Dylacja+Erozja)
- Detekcja ekstremów Top Hat (=Zamknięcie-Obraz=Obraz-Otwarcie)
- Gradient morfologiczny (= Otwarcie+Zamknięcie)
- Wygładzanie morfologiczne (=Dylacja-Erozja)
- Pocienianie
- Pogrubianie
- Szkieletyzacja (znalezienie szkieletu czyli punktów obiektu równoodległych od jej brzegów)
- Odcinanie gałęzi (artefaktów z nieregularności obiektów szkieletyzowanych)
- Detekcja centroidów (punktów centralnych obiektu)
- Dylatacja bez styków (SKIZ ang. Skeleton by influence zone)
- Erozja warunkowa
- Rekonstrukcja (wygładzanie obszaru, czyszczenie brzegów, zalewanie dziur)
- Automeriana

43

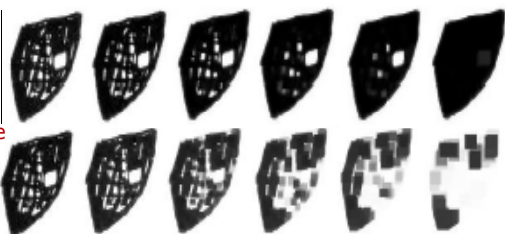
Otwarcie i zamknięcie



Operacje otwarcia i zamknięcia na obrazach szaroodcieniowych

Otwarcie

Zamknięcie



Element strukturalny: 3x3 5x5 9x9 13x13 21x21

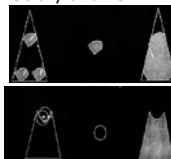
Komplementarność operacji

Praca dyplomowa Szymona Mireckiego

45

Otwarcie i zamknięcia – interpretacja geometryczna

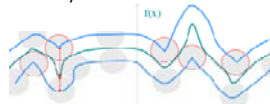
Obrazy binarne



Otwarcie: toczenie elementu strukturalnego od wewnątrz

Zamknięcie: toczenie elementu strukturalnego od zewnątrz

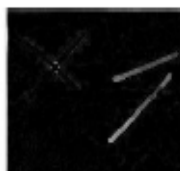
Obrazy szaroodcieniowe



Otwarcie/Zamknięcie: toczenie kulki/pilki czyli elementu strukturalnego od dołu/góry linii profilu dla obrazów w skali szarości

46

Top Hat



White Top Hat



Black Top Hat

47

Rekonstrukcja



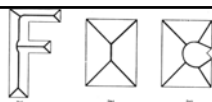
Otwarcie



Rekonstrukcja

48

Algorytmy szkieletyzacji



Umożliwiają upraszczanie obiektów na obrazach prowadząc do zastąpienia obrotu jego szkieletem

Szkielet odzwierciedla podstawowe własności topologiczne figury, a jego dalsza analiza może zostać wykorzystana do:

- klasyfikacji figur ze względu na kształt,
- wyznaczania orientacji figur podłużnych,
- określania linii środkowej szerszych linii,
- rozdzielanie złączonych obiektów.

Ścienianie jest potrzebne, aby odtworzyć liniową strukturę obrazu wejściowego nie tracąc jego spójności.

Matematyczna definicja ścieniania na płaszczyźnie analogowej:

- DEFINICJA 1: Niech R będzie zbiorem punktów na płaszczyźnie, B jego brzegiem, a P punktem należącym do R . Najbliższym sąsiadem punktu P na brzegu B jest punkt M należący do B taki, że nie istnieje inny punkt należący do B , którego odległość od punktu P jest mniejsza od odległości PM . Jeżeli punkt P ma więcej niż jednego najbliższego sąsiada, to P nazywamy punktem szkieletowym zbioru R . Zbiór wszystkich punktów szkieletowych jest szkieletem lub osią środkową zbioru R .

Szkielet figury, to zbiór wszystkich punktów równoodległych od co najmniej dwóch brzegów.

DEFINICJA 2.

Szkieletem zbioru R elementów obrazu cyfrowego jest zbiór wyznaczony w następujący sposób:

W zbiorze R określa się:

- potencjalnie szkieletowe (otoczone punktami obiektu) lub szkieletowe (stanowiące krzywą lub prostą ciągnącą się w dowolnym kierunku) oraz
- konturowe (w otoczeniu jest poziom jasności tła 0)

elementy obrazu.

Następnie usuwa się wszystkie konturowe elementy obrazu, które nie są szkieletowymi i z tak otrzymanym zbiorem R rekurencyjnie powtarzamy procedurę aż do uzyskania zbioru zawierającego jedynie szkieletowe elementy obrazu.



Rys. 4. Wynik klasycznego algorytmu ścieniania. Usunięto elementy obrazu oznaczone „0”, a szkieletowe elementy obrazu oznaczono przez „1”

Wyznaczanie szkieletu binarnego polega na wielokrotnym stosowaniu (często naprzemiennych, z różnymi elementami strukturalnymi) operacji pocieniania – do momentu, aż kolejne operacje nie wpływają na wygląd obrazu wynikowego. W tym celu można stosować różne zestawy elementów strukturalnych. Przykładem adekwatnego zestawu jest 8 elementów otrzymanych w wyniku obrotów następujących elementów strukturalnych:

$$\begin{bmatrix} 0 & 0 & 0 \\ z & 1 & z \\ 1 & 1 & 1 \end{bmatrix} \text{ oraz } \begin{bmatrix} z & 0 & 0 \\ 1 & 1 & 0 \\ z & 1 & z \end{bmatrix} \text{ o kąty } 0^\circ, 90^\circ, 180^\circ \text{ i } 270^\circ.$$

Algorytm 1 (klasyczny algorytm ścieniania):

Oznaczenia: l oznacza obraz wejściowy. P oznacza zbiór wzorców sąsiedztwa szkieletowych elementów obrazu wraz z obróconym o 90° pierwszym wzorcem i obróconym o 90° , 180° i 270° drugim wzorcem. Znacznik $remain$ z wartością $true$ wskazuje, że nieskieletowe elementy obrazu mogą pozostać. Znacznik $skel$ z wartością $true$ wskazuje, że sąsiedztwo elementu obrazu odpowiada jednemu ze wzorców zbioru P . Jedynka/zero we wzorcu odpowiada niezerowemu/zerowemu elementowi w sąsiedztwie.

1. Podstaw $true$ jako wartość znacznika $remain$.

2. While $remain = true$ do kroki 3-12.

Begin

3. Podstaw $false$ jako wartość znacznika $remain$. (nie dokonano żadnej zmiany)

4. For $j = 0, 2, 4$ i 6 do kroki 5-12.

Begin

5. For dla wszystkich elementów p obrazu l do kroki 6-10.

Begin

6. If $p = 1$ and if jego j -sąsiad = 0 then do kroki 7-10.

Begin

7. Podstaw $false$ jako wartość znacznika $skel$.

8. For wszystkich wzorców P do kroki 9.

Begin

9. If sąsiedztwo p odpowiada wzorcowi P then podstaw $true$ jako wartość $skel$ i wyjdź z pętli

End.

10. If $skel = true$ then podstaw 2 jako wartość p (skieletowy element obrazu) else podstaw 3 jako wartość p (usuwany element obrazu) podstaw $true$ jako wartość $remain$.

End.

11. For wszystkich elementów p obrazu l do kroki 12.

Begin

12. If $p = 3$, then podstaw jako p wartość 0.

End.

End.

13. Koniec algorytmu.

$$\begin{bmatrix} 0 & 0 & 0 \\ z & 1 & z \\ 1 & 1 & 1 \end{bmatrix}$$

$$\begin{bmatrix} z & 0 & 0 \\ 1 & 1 & 0 \\ z & 1 & z \end{bmatrix}$$

$0^\circ, 90^\circ, 180^\circ \text{ i } 270^\circ$

a)

	A	A	A			A	A	A	
	0	P	0			A	P	0	
	B	B	B			A	0	2	

b)

A	A	C
0	2	2+
B	B	C

Rys. 3. Wzorce sąsiedztwa powtarzalnych elementów obrazu. a) Co najmniej jeden z każdej grupy elementów obrazu oznaczonych przez A lub B musi być niezerowy. b) Co najmniej jeden z elementów obrazu oznaczony przez C musi być niezerowy. Jeżeli obydwa elementy obrazu oznaczone przez C są niezerowe, to wartości elementów obrazu oznaczonych przez A i B mogą być dowolne. W przeciwnym przypadku co najmniej jeden z elementów każdej pary oznaczonej przez A lub B musi być niezerowy

Uwagi ogólne dotyczące algorytmów

- Dyskusja nad algorytmami obejmuje m.in. zagadnienie złożoności obliczeniowej.
- Podając algorytm próbujemy określić czas i pamięć potrzebne do jego wykonania.
- Typowy błąd: mylenie złożoności obliczeniowej i programowej.
- Generalnie, długość programu realizującego algorytm ma mało wspólnego z szybkością wykonania, a nawet z wymaganą wielkością pamięci.
- Jeśli jakaś relacja istnieje, to jest ona wręcz odwrotna.
- Algorytmy „złożone” są zwykle szybsze niż „proste”. Np. program dla FFT (nierekurencyjny) jest dłuższy i bardziej złożony niż program realizujący wzór sumy dla transformaty. Jednak wykonuje się znacznie szybciej. Podobnych przykładów dostarczają algorytmy sortowania.
- Często atrakcyjniejsze wydaje się użycie rekurencyjnej formy algorytmu, jako dużo krótszej niż nierekurencyjna, a liczba operacji w obu formach jest taka sama. W takich przypadkach należy pamiętać o kosztach wywołań rekurencyjnych, potrzebie przechowywania wartości rejestrów w pamięci itp. Jeśli liczba wywołań jest mała w porównaniu z liczbą innych operacji, to ich koszt może być opłacalny z powodu prostoty programu. W innych przypadkach algorytm w formie nierekurencyjnej dają programy wydajniejsze.
- O ile prostota programowania może wydawać się atrakcyjna programiście, który jest ograniczony czasem i planuje uruchomienie programu z niewielką ilością danych, o tyle jest szkodliwa w przypadkach zastosowań użytkowych przy dużych zbiorach danych.

Materiał:

- M.Doros, Przetwarzanie obrazów, skrypt WSISIZ
- Materiały wykładowe POBZ z zeszłego roku na UBIKu
- T.Pavlidis, Grafika i Przetwarzanie Obrazów, WNT Warszawa 1987.
- **I.Pitas**, Digital image processing, algorithms and applications, John Wiley & Sons, Inc. 2000, **pp. 162-166** (w katalogu ...**\APOZ\Materialy** na UBIKu).

Omówienie tematów projektów

- **Materiał w katalogach na UBIKu:**
...**\APOZ\Materialy**
...**\APOZ\2019-2020\Projekty**